

SUPPLEMENTARY MATERIALS – ДОПОЛНИТЕЛЬНЫЕ МАТЕРИАЛЫ

Lanthanum propionate monohydrate and mixed-ligand complex with diethylenetriamine: synthesis, crystal structure, and application in the chemical deposition of lanthanum nickelate thin films

Моногидрат пропионата лантана и разнолигандный комплекс с диэтилентриамином: синтез, кристаллическая структура, применение в химическом осаждении тонких пленок никелата лантана

М. Р. Kendin, R. A. Gashigullin, I. A. Martynova, A. A. Anosov, D. M. Tsymbarenko

М. П. Кендин, Р. А. Гашигуллин, И. А. Мартынова, А. А. Аносов, Д. М. Цымбаренко

Russian Journal of Inorganic Chemistry

Журнал неорганической химии

Table S1. Crystal structures of rare earth propionate solvates reported in literature.

Таблица S1. Кристаллические структуры сольватов пропионатов РЗЭ, описанные в литературе.

Chemical composition	Space group	<i>a</i> (Å)	<i>b</i> , (Å)	<i>c</i> (Å)	α, β, γ (°)	CCDC refcode
[La ₂ (H ₂ O) ₃ Prop ₆]·3.5H ₂ O	<i>P</i> 2 ₁ / <i>c</i>	10.3431(9)	15.2548(12)	20.369(2)	90 102.321(2) 90	TACSAT01
[Pr ₂ (H ₂ O) ₃ Prop ₆]·3H ₂ O	<i>P</i> 2 ₁ / <i>c</i>	10.342(2)	15.212(3)	20.863(7)	90 102.87(2) 90	ZOKMER
[Nd ₂ (H ₂ O) ₃ Prop ₆]·3H ₂ O	<i>P</i> 2 ₁ / <i>c</i>	10.2631(5)	15.0716(7)	20.5876(9)	90 102.736(3) 90	JUKKAD
[Dy ₂ (H ₂ O) ₄ Prop ₆]·0.5HProp	<i>P</i> 2 ₁ / <i>c</i>	8.8173(4)	14.1359(6)	23.9018(10)	90 97.781(2) 90	LOJREJ
[Y ₂ (H ₂ O) ₄ Prop ₆]	<i>P</i> 2 ₁ / <i>n</i>	8.882(3)	14.108(4)	25.066(7)	90 99.028(6) 90	ZAKYOC
α -[Y ₂ (H ₂ O) ₂ Prop ₆]	<i>P</i> – <i>I</i>	9.619(3)	12.116(4)	13.181(5)	66.201(6) 68.823(6) 89.882(6)	JOMZUI01
α -[Ho ₂ (H ₂ O) ₂ Prop ₆]	<i>P</i> – <i>I</i>	9.6211(12)	12.1080(15)	13.1894(16)	66.171(2) 68.723(2) 89.865(2)	OJAMUK
α -[Tm ₂ (H ₂ O) ₂ Prop ₆] (120 K)	<i>P</i> – <i>I</i>	9.602(2)	12.059(3)	13.195(3)	66.205(4) 68.747(4) 89.874(4)	OJAMEU

α -[Tm ₂ (H ₂ O) ₂ Prop ₆] (290 K)	<i>P</i> - <i>I</i>	9.573(4)	12.194(5)	13.527(6)	65.41(2) 69.06(2) 89.89(2)	OJAMEU01
β -[Tm ₂ (H ₂ O) ₂ Prop ₆] (290 K)	<i>P</i> 2 <i>I/c</i>	11.911(4)	12.192(4)	9.555(3)	90 104.384(19) 90	OJAMEU02
β -[Yb ₂ (H ₂ O) ₂ Prop ₆]	<i>P</i> 2 <i>I/c</i>	11.894(2)	12.1946(12)	9.5214(14)	90 104.25(2) 90	UDUMAJ
β -[Lu ₂ (H ₂ O) ₂ Prop ₆]	<i>P</i> 2 <i>I/c</i>	11.905(2)	12.1613(13)	9.4814(14)	90 104.307(19) 90	UDUMEN
[Nd ₂ (HProp) ₂ Prop ₆]	<i>P</i> - <i>I</i>	11.9397(16)	12.2827(18)	13.4629(18)	105.552(11) 96.453(11) 113.790(11)	JIPMUR
[Sm ₂ (HProp) ₂ Prop ₆]	<i>P</i> - <i>I</i>	11.9098(17)	13.301(2)	13.5672(15)	105.202(16) 97.136(15) 113.546(17)	UDUGUX
[Tb ₄ (HProp) ₂ Prop ₁₂]	<i>P</i> - <i>I</i>	12.730(3)	13.032(2)	20.711(4)	75.680(14) 74.842(14) 68.987(14)	UDUMOX
[Dy ₄ (HProp) ₂ Prop ₁₂]	<i>P</i> - <i>I</i>	12.751(2)	13.0367(17)	20.712(3)	75.661(10) 75.157(11) 69.067(11)	UDUNEO
[Ho ₄ (HProp) ₂ Prop ₁₂]	<i>P</i> - <i>I</i>	12.771(2)	12.833(2)	20.623(3)	76.161(17) 76.775(18) 69.430(17)	UDUMUD
[Er ₄ (HProp) ₂ Prop ₁₂]	<i>P</i> - <i>I</i>	12.730(15)	12.89(3)	20.63(4)	75.8(2) 76.5(2) 69.6(2)	UDUNAK

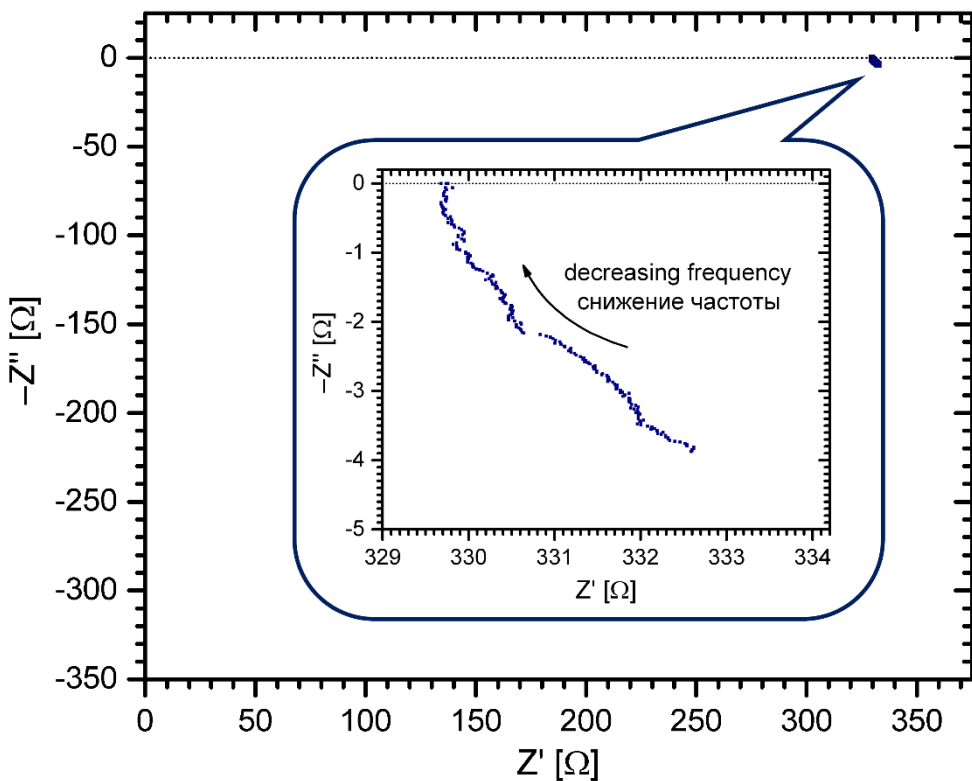


Fig. S1. Impedance spectrum recorded for the $\text{LaNiO}_3/\text{STO}(001)$ thin film. Experimental data reveal the predominance of the real Z' component with a relatively small contribution of the imaginary component ($Z''/Z < 1.2\%$) in the whole frequency range (20–100000 Hz) studied. The imaginary component is characterized by a negative $-Z''$ value and increases with increasing frequency that corresponds to the inductance of the supply wires. On the other hand, the low-frequency region of the spectrum does not exhibit any distinguishable positive contribution to $-Z''$ from the capacitance of the LaNiO_3 –electrode contacts. Therefore, it is reasonable to assume that the latter are ohmic contacts. The spectrum is depicted in magnification in the inset.

Рис. S1. Данные спектроскопии импеданса для тонкой пленки $\text{LaNiO}_3/\text{STO}(001)$. Экспериментальные данные выявляют преобладающий вклад вещественной составляющей при относительно малом вкладе мнимой компоненты ($Z''/Z < 1.2\%$) во всем исследованном диапазоне частот (20–100000 Гц). Мнимая компонента характеризуется отрицательным значением $-Z''$ и растет с повышением частоты, что соответствует индуктивному сопротивлению подводящих проводов. Напротив, низкочастотная область

спектра не выявляет положительного вклада в $-Z''$ от емкостного сопротивления контактов LaNiO₃—электрод, что позволяет предположить, что последние являются омическими. Спектр представлен в увеличенном масштабе на выноске.